

# 鉄筋コンクリート構造物の復元力特性の解析とその応用

早稲田大学 谷 資信 東海大学 ○永坂 具也

## §1. まえがき

鉄筋コンクリート建築構造物の短期の設計においては、通常、長期荷重、短期荷重のいずれについても部材を弾性と仮定し、かつ、鉄筋の影響を無視して応力を算定し、それらを重ね合わせて部材の断面算定が行われる。その際、安全性の目安とされるのが許容応力度であるが、これを満足する部材の許容曲げ耐力は、今日、かなりの精度で計算することができます、計算規準等においてもこれが図表化されている。しかしながら、柱の場合、これはあくまでも存在する軸方向力が定められた上でのことであり、事実、柱の曲げ耐力はこの軸方向力の大小により著しく異なる。したがって、これを弾性計算によって算出し、短期の柱の設計を行うことには疑問がある。特に、壁、筋かい等を含む構面における柱では、地震時等において、水平力による軸方向力のはげしい変動があると考えられ、場合によつては危険側の設計となる恐れもある。このような問題を検討するには、水平力を受ける構造物の最大耐力時までの力と変位、変形との関係、すなわち復元力特性を追跡することが必要であり、その解析方法は水平力による部材の軸方向力の変動がその曲げ剛性に与える影響を考慮したものでなければならない。以上のよろざな目的から、以下に曲げモーメントと軸方向力の複合効果を考慮し、かつ、鉄筋とコンクリートとの付着特性を導入する鉄筋コンクリート骨組構造物の解析方法を紹介すると共に、これを用いてモデル架構の解析を行い、前述の柱の耐力、更には、構造物における部材の耐力の意味等について考察する。

## §2. 解析方法

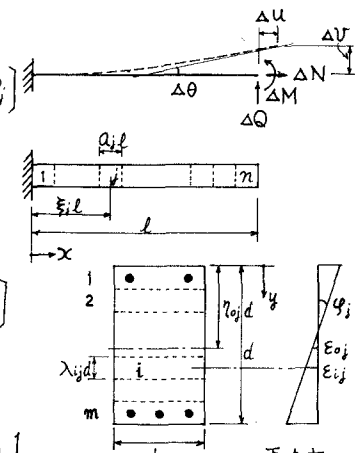
端部に軸方向力、せん断力、モーメントの各増分力を受けた部材を図1に示すように材軸方向、および断面のせい方向に分割し、これより出来た各要素中の剛性は一様にその要素の中央の剛性に等しいとする。その際、各分割断面の増分平均応力度 $\Delta \sigma$ と増分歪度 $\Delta \epsilon$ とを関係づける等価剛性(後述)が、その直前の歪度 $\epsilon$ にようつて定まるものとすれば、材軸方向任意の位置の断面の増分軸方向力、増分曲げモーメントは次式で与えられる。

$$\begin{aligned}\Delta N_j &= \sum_{i=1}^m (E_{ij} \Delta \epsilon_{ij}) b \lambda_{ij} d = bd \left[ \left\{ \sum_{i=1}^m E_{ij} \lambda_{ij} \right\} \Delta \epsilon_{ij} + \left\{ \sum_{i=1}^m E_{ij} \lambda_{ij} (\gamma_{ij} - \gamma_{0j}) \right\} \Delta \varphi_j \right] \\ &\equiv bd (\gamma_j \Delta \epsilon_{0j} + \gamma_j \Delta \varphi_j)\end{aligned}\quad (1)$$

$$\begin{aligned}\Delta M_j &= \sum_{i=1}^m \left\{ (E_{ij} \Delta \epsilon_{ij}) b \lambda_{ij} d (\gamma_{ij} - \gamma_{0j}) d + E_{ij} (\Delta \varphi_j \cdot \frac{\lambda_{ij}}{2}) \cdot \frac{b \lambda_{ij}^2 d^2}{6} \right\} \\ &= bd^2 \left[ \left\{ \sum_{i=1}^m E_{ij} (\gamma_{ij} - \gamma_{0j}) \lambda_{ij} \right\} \Delta \epsilon_{0j} + \left\{ \sum_{i=1}^m E_{ij} \left\{ (\gamma_{ij} - \gamma_{0j})^2 \lambda_{ij} + \frac{\lambda_{ij}^3}{12} \right\} \right\} \Delta \varphi_j \right] \\ &\equiv bd^2 (\gamma_j \Delta \epsilon_{0j} + \gamma_j \Delta \varphi_j)\end{aligned}\quad (2)$$

ここで、

$$\Delta \epsilon_{ij} = \Delta \varphi_j (\gamma_{ij} - \gamma_{0j}) + \Delta \epsilon_{0j}, \quad \beta_j = \gamma_j \varphi_j - \gamma_j^2$$



ただし、 $\Delta N_j$ : 材軸方向  $j$  領域の部材断面に働く増分軸方向力

$$\Delta M_j: \quad \text{増分曲げモーメント}$$

$\Delta \varepsilon_{ij}$ : 要素  $ij$  の増分歪度,  $E_{ij}$ : 要素  $ij$  の等価剛性

$\Delta \varphi_j$ : 材軸方向  $j$  領域の部材断面の増分曲率

(断面のせい  $d$  により無次元化されている)

$\Delta \varepsilon_{ej}$ : 材軸方向  $j$  領域の部材断面の図心位置の増分歪度

$\eta_j$ : 材軸方向  $j$  領域の部材断面の図心位置と断面上縁

との距離(断面のせい  $d$  により無次元化されている)

その他の記号については図1参照。

$$\text{子た}、\Delta M_x = \Delta Q(l-x) + \Delta M = \Delta Ql(1-\xi) + \Delta M$$

以上より、図1に示す材端の変形  $\Delta u$ 、 $\Delta v$ 、 $\Delta \theta$  は次式で表わせる。

$$\Delta u = \sum_{j=1}^n \Delta u_j = \sum_{j=1}^n \int_{(\xi_j - 0.5a_p l)}^{(\xi_j + 0.5a_p l)} \Delta \varepsilon_{ej} (l d\xi) \\ = \sum_{j=1}^n \left[ \frac{l}{bd^2} \cdot \frac{q_j}{\beta_j} a_j - \frac{l^2}{bd^2} \cdot \frac{P_j}{\beta_j} a_j (1 - \xi_j) - \frac{l}{bd^2} \cdot \frac{P_j}{\beta_j} a_j \right] \begin{bmatrix} \Delta N \\ \Delta M \end{bmatrix} \quad (3)$$

$$\Delta v = \sum_{j=1}^n \Delta v_j = \sum_{j=1}^n \int_{(\xi_j - 0.5a_p l)}^{(\xi_j + 0.5a_p l)} (\Delta \varphi_j / d)(1 - \xi_j) l (l d\xi) \\ = \sum_{j=1}^n \left[ -\frac{l^2}{bd^3} \cdot \frac{P_j}{\beta_j} a_j (1 - \xi_j) - \frac{l^3}{bd^3} \cdot \frac{P_j}{\beta_j} \{a_j(1 - \xi_j)^2 + \frac{a_j^3}{12}\} - \frac{l^2}{bd^3} \cdot \frac{P_j}{\beta_j} a_j (1 - \xi_j) \right] \begin{bmatrix} \Delta N \\ \Delta M \end{bmatrix} \quad (4)$$

$$\Delta \theta = \sum_{j=1}^n \Delta \theta_j = \sum_{j=1}^n \int_{(\xi_j - 0.5a_p l)}^{(\xi_j + 0.5a_p l)} (\Delta \varphi_j / d) (l d\xi) \\ = \sum_{j=1}^n \left[ -\frac{l}{bd^2} \cdot \frac{P_j}{\beta_j} a_j - \frac{l^2}{bd^3} \cdot \frac{P_j}{\beta_j} a_j (1 - \xi_j) - \frac{l}{bd^3} \cdot \frac{P_j}{\beta_j} a_j \right] \begin{bmatrix} \Delta N \\ \Delta M \end{bmatrix} \quad (5)$$

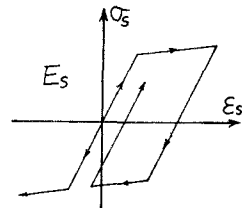


図2

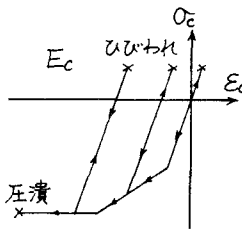


図3

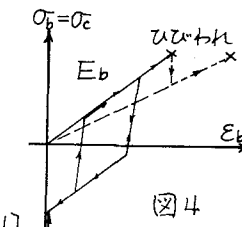


図4

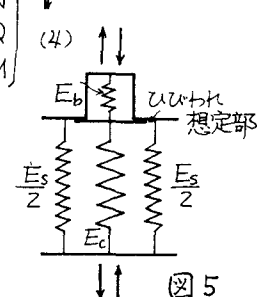


図5

以下がって、増分材端変形 ( $\Delta u$   $\Delta v$   $\Delta \theta$ ) と増分材端力 ( $\Delta N$   $\Delta Q$   $\Delta M$ ) とを結ぶ部材の柔軟性マトリックスが導かれたことになる。剛性マトリックスは、直説的、この逆マトリックスである。このマトリックスにおいては、断面の図心に関する対称性が成立しない場合、軸方向力と曲げモーメントの相関性を示す位置の元に、一般に0とはならない。

尚、鉄筋とコンクリートの応力度 ( $\sigma$ ) と歪度 ( $\varepsilon$ ) の関係、および鉄筋とコンクリートとの付着特性は図2～4に示すように仮定され、鉄筋を含む分割要素(図1では1, m断面)の剛性は鉄筋の剛性とコンクリートの剛性とが付着剛性を介して結びつけられる図5のよき機構により定められるものとする。すなわち、鉄筋を含む分割断面の鉄筋の歪度 ( $\Delta \varepsilon$ ) とその断面の等価応力度 ( $\Delta \sigma$ ) とを結びつける等価剛性を正しければ、次式が成立する。

$$\Delta \sigma = E_s P_s + \frac{E_s E_b}{E_c + E_b} (1.0 - P_s)$$

ただし、 $E_s$ ,  $E_c$  は図2, 3で決定される鉄筋、コンクリートのそれぞれ単独の剛性であり、 $E_b$  は図4で決定される鉄筋とコンクリートとの付着剛性である。ここで、 $E_b$  はコンクリートのひびわれ

発生以前では無限大とする。また、 $\beta$ は要素中の鉄筋断面積の要素断面積に対する比である。

実際の付着特性は極めて複雑なものであるが、このよきに付着剛性を抽出することは将来の実験結果を導入する上にも簡便な方法であると考えられる。

次に、部材のある分割要素にコンクリートの破壊（ひびわれ、あるいは圧潰）の生じた際の処理を順を追って述べる（以下のように）になる。

1. 破壊を生じた要素のコンクリートの負担力を0とし、これを含む断面の応力を破壊直前の歪分布が保持されるよき耐力に低下させる。
2. 破壊を生じた要素を含む部材の材端力を破壊後の部材の新たな剛性分布にしたがい、破壊直前の材端変位が保持されるよきに変動させて、部材に新たな変形性状を形成する。
3. 前段階で得られた新たな材端力と破壊直前の材端力との差を構造における不平衡力として、破壊部材の結ばれる両端の節点に破壊後の構造剛性にしたがい解除する。

上記の不平衡材端力を $\Delta\bar{N}$ ,  $\Delta\bar{Q}$ ,  $\Delta\bar{M}$ とすれば、これらは次のようにして得られる。すなわち、段階1によって失われる断面の軸方向力、曲げモーメントを $N_i$ ,  $M_i$ とすれば、新たに生ずる増分曲率 $\Delta\varphi_i$ , 図心位置の増分歪度 $\Delta\varepsilon_0$ は、(1), (2)式に $\Delta N = \Delta\bar{N} + N_i$ ,  $\Delta M = \Delta\bar{M} + M_i$ を代入して得られ、これより生ずる材端変位も先に(3)～(5)式を導いたのと同様の手順で得られ、次式のようになる。

$$\begin{bmatrix} \Delta u \\ \Delta v \\ \Delta \theta \end{bmatrix} = [F] \begin{bmatrix} \Delta\bar{N} \\ \Delta\bar{Q} \\ \Delta\bar{M} \end{bmatrix} + \begin{bmatrix} \Delta u_i \\ \Delta v_i \\ \Delta \theta_i \end{bmatrix}$$

ここで、 $[F]$ は前述の柔性マトリックスと全く同じ形式で、破壊後の柔性に基づくものであり、 $\Delta u_i$ ,  $\Delta v_i$ ,  $\Delta \theta_i$ は破壊によって失われた応力により生ずる変形に相当する。尚、 $N_i$ ,  $M_i$ は破壊要素を含まない断面については、当然ながら、0となる。

さて、上式の左辺は段階2によって材端変位が変動しないことから0でなければならぬ。したがって、不平衡力 $\Delta\bar{N}$ ,  $\Delta\bar{Q}$ ,  $\Delta\bar{M}$ は破壊によって生ずる材端変位を拘束するものとして得られるこことを意味する。

### 3. 解析方法の検討

本解析方法を水平力を受ける1層1スパンの鉄筋コンクリート筋道付ラーメン模型に適用し、得られた結果と実験結果と比較してその妥当性を考察する。

一方向単調加力時については、柱頭に加えられる铅直荷重 $N$ の大小に依らず、解析結果は実験結果をよく把握しているといえよう。すなわち、繰返し加力時については、単調加力時に比し、两者にはかなりの相違がみられるが、本解析結果は鉄筋コンクリート構造物の復元力特性の特徴、すなわち、繰返し加力時にみられる硬化バネ型の特性を從来に

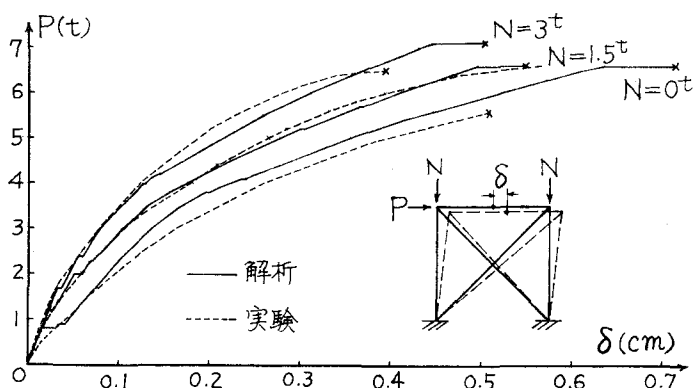


図 6

なく良く表現している。

なお、本解析例においてヒラレた断面の分割数は、すべての部材について4コである。一方、柱軸方向の分割数は柱、はりについては9コ、筋違の交叉点に節点を設けて得られる4つの筋違についてはいづれも5コである。また、コンクリート、鉄筋のひび割れには材料実験より得られた結果を図2、3にしたがい忠実にモデル化したもの用い、付着特性については図4における3小まかの剛性をE<sub>c</sub>の1/50、大きい方の剛性をE<sub>c</sub>の5倍とした。

#### §4. モデル構架の解析

本解析で用いられたモデル構架は図8に示すA、B2つの6層3スパン構架である。B型は連層壁タイプで柱の軸方向力の変動が大きいものとして想定されたものである。

本構架の各部材は図9に示すように同一等スパンの平面を有する3構架の

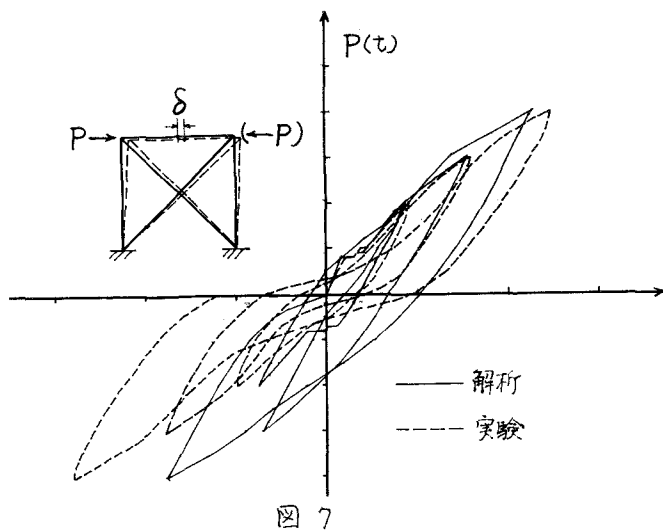


図 7

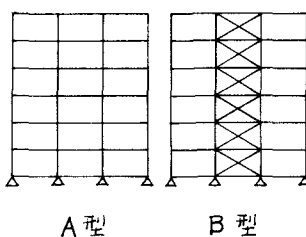


図 8

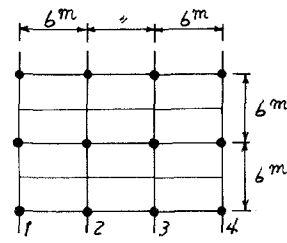


図 9

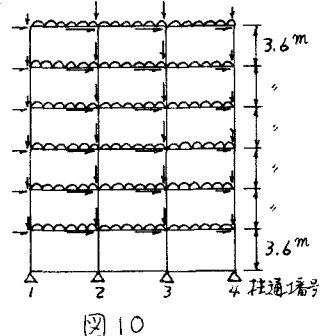


図 10

1構面を取り出したものとして建築学会の鉄筋コンクリート構造計算規準に準拠して算定した。また、本解析では、はりは塑性性域を通じ一定の有効幅を有するT型ばかりとした。構架に作用する荷重の概略は図10に示されている。その際、長期鉛直荷重は水平加力前に加えられた。そのうち、直交方向にはりより伝えられる鉛直荷重はそのはりの接続する節点に節点力として加えられ、構面内のはりにかかる鉛直荷重は等分布荷重として各はりに等しく加えられた。一方、水平力は、各層について等分布する増分力として加えられた。

解析により得られた荷重-変位曲線を層に加わる水平力とR階や中央スパンの柱中央点の水平変位との関係として図11に示す。筋違を配置することによる耐力の増加は明瞭であるが、引抜力に対する反力を期待できないとして、その引抜き力を生じた時点をもって構造耐力をみなし、筋かいを有する構架の耐力はベースシアでわざかに153tで純ラーメン構架であるAの耐力165.6tにも劣り、その際の変形能力たるやA型に比して小さい。また、引抜き力に対する反力を仮定しても耐震要素の耐力に相当する圧縮筋かいの圧壊が生じることではなく、柱、あるいは、はりの曲げ破壊によって構造耐力が定まる。これらのことは耐震要素を配置することによって、通常、耐力の増大を

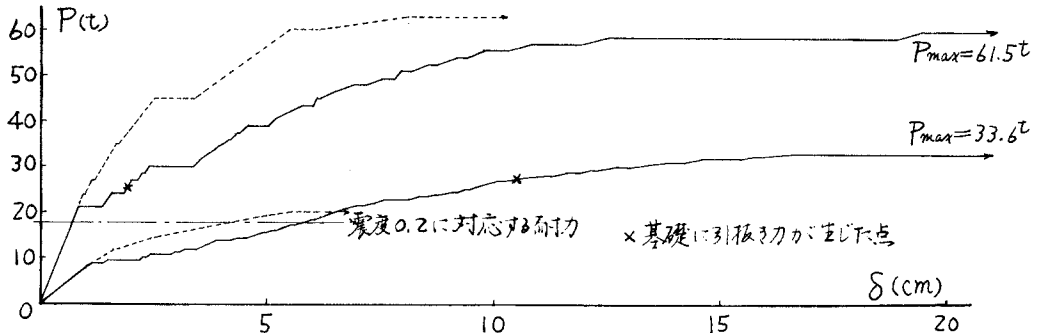


図 11

見込まれ、主体構造である柱、はりの破壊は耐震要素の破壊後と考えられることがから極めて重要なである。すなわち、耐震要素の配置によって耐力を増大させるには、引抜き力の発生をなるべく遅らせ、かつ、柱、はりの破壊を抑えるものにする必要がある。

尚、図11中の点線は曲げモーメントと軸方向力の複合効果を考慮しない解析によつて得た結果を参考までに示したものである。複合効果を無視すると剛性低下が著しく遅れることが明らかである。

次に柱の軸方向力について考察する。

表1は震度0.2の耐力時、基礎の引抜き力発生時、および最大耐力時にて、弾性を仮定した際で得られるA型架構1層の柱の軸方向力を本解析によつて得られる軸方向力に対する比の値として示したものである。また、表2はB型架構の同様の値を基礎の引抜き力発生時と最大耐力時について示したものである。

これらの表より、弾塑性解析によつて得られる柱軸方向力は、A型架構のように耐震要素である筋かいを有しない場合には弾性を仮定して得られたものと大差ない結果を与えるが、連層筋かいを有するB架構になると、両者の値が著しく異なる結果を与えることになる。

一方、図11に示されているように、震度0.2を基準に考えればA、Bいずれの架構も大きな耐力上の余裕を有するところながら、実際にて震度0.2以上の耐力において部材に曲げ破壊を生じ、最近の設計で推奨されるように、部材のせん断耐力を高めることにより曲げ降伏、曲げ破壊を先行させよとの思想からすれば、これらの表から推測されるように、曲げ破壊が先行することにはならない場合も考えられる。

また、図12は弾塑性域における応力の再分布がどの程度行われるかを判定する目的で、A型架構について各層の柱の横力分布係数を図2における各層の柱の分担力を1として示したものである。この図より、弾性時から引抜き力発生時までに至る各柱の横力分担にはかなりの変動がみられる。特に、最下層、最上層、および3層の柱にはそれが著しい。他方、図13は同様の目的から、弾性時、

表 1

柱通し番号	$P_{0.2}$	$P_p$	$P_{max}$
1	0.94	1.03	0.61
2	1.31	0.98	0.76
3	0.98	0.98	1.00
4	1.02	0.94	1.02

表 2

柱通し番号	$P_p$	$P_{max}$
1	0.99	4.32
2	1.78	1.64
3	1.02	1.34
4	1.02	0.88

$P_{0.2}$ :震度0.2の耐力時,  $P_p$ :引抜き力発生時,  $P_{max}$ :最大耐力時

・弾性時  
×引抜き力発生時  
○最大耐力時

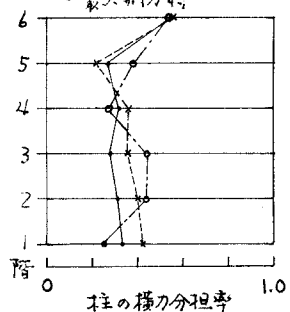


図 12

引張き力発生時、最大耐力発生時において、各層の柱の分担する横力の総計をその層にかかる横力に対する比率で示したもので、最上層を除き、弾性時からの変動は少しあることが示されている。

これらの二つの図から、弾塑性域における応力の変動、再分布は相当に大きいことが推察され、弾性域の特性のみから構造の耐力、部材の応力を判定することは困難であり、危険である。

なお、本論文では、水平力を一方向に単調加力する場合のみのモデル架構の解析を行ったが、部材にコンクリートのひびわれ、圧潰等の破壊を生じると、単調加力といえども、応力の増減があり、それによる剛性の変化を考慮する必要から、計算プログラム上は繰返し加力の場合と同様の考慮をなしている。また、本解析における計算には、アベマ、東京大学大型計算機センターの HITAC 8800/8870 システムを用いた。

### §5. 結論

繰返し加力を受けた鉄筋コンクリート構造物の復元力特性を追跡する解析方法を開発し、これを用いて実大モデル架構の解析をなし、次のよき結論を得た。

1. 本論文で述べたような方法で、曲げモーメントと軸方向力の複合効果、および付着特性を解析に取り入れることにより、水平力を受ける構造物の剛性変化、耐力、変位等を実際のものにかなり忠実に追跡することができる、この複合効果を考慮しないと、剛性低下の判定が著しく遅れることがある。
2. 柱の引張き力を生じるまで構造物の耐力を仮定すると、筋かい、壁等の耐震要素の配置の仕方によつては、それを用いても耐力はあまり増大しない。
3. 筋かいを配置しても、構造物中では、その耐力をまで発揮されることはなく、柱、梁の破壊が先行する場合が多いと考えられる。
4. 柱の軸方向力を弾塑性解析によって正しく評価しないと、曲げ耐力判定の上で危険になることがある。
5. 部材の降伏、破壊により、各部材の応力分担の弾塑性域における変動は相当、はげしいと考えられる。

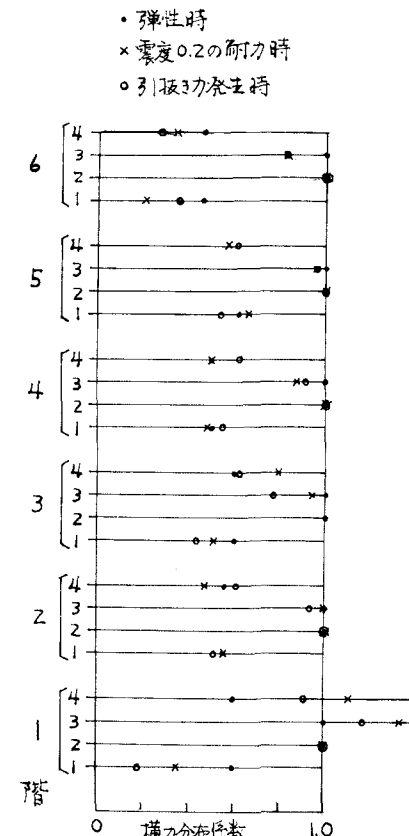


図 13